РАЗРАБОТКА НАБЛЮДАТЕЛЯ КРУТЯЩЕГО МОМЕНТА ДЛЯ ВЕТРОГЕНЕРАТОРА ИСПОЛЬЗОВАНИЕ СИНХРОННОГО ГЕНЕРАТОРА С ПОСТОЯННЫМИ МАГНИТАМИ

Т. Е. Мамонова, к.т.н., доц., 3. Ш. Нгуен, студент гр. 8ТМ01 Томский политехнический университет E-mail: zuyshang1@tpu.ru

Введение

В настоящее время запасы органического топлива истощаются, и его использование во все возрастающих объемах ведет к загрязнению окружающей среды. В будущем неизбежно сокращение потребления органического топлива и его замена другими источниками энергии. Ветроэнергетика является одним из основных игроков в этом контексте, и сегодня она является самой распространённой частью среди других методов возобновляемой энергии. Для улучшения эффективности работы ветрогенератора и повышения устойчивости системы необходима системы управления ветрогенератором. Для этого, целью представленной работы является разработка наблюдателя крутящего момента ветрогенератора.

Описание системы

Структурная схема ветрогенератора с использованием постоянного магнита синхронного генератора представлена на рисунке 1.

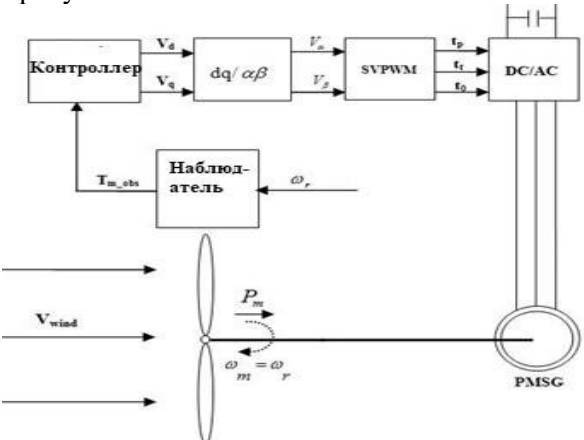


Рис. 1. Структурная схема ветрогенератора.

Система состоит из турбины, контроллера, наблюдателя, генератора. Блок турбины дает параметры механической мощности (ветровой мощности), вкладываемой в генератор. Ветровой момент от наблюдателя поступает на контроллер, сигнал управления проходит через инвертор, подключенный к генератору.

На основе анализа и построения математической модели аэродинамической ветротурбины, математической модели генератора, теории ПИД-регулятора, теории наблюдателя Луенбергера, а также теории наблюдателя Калмана, были построены ПИ-регулятор тока и наблюдатель момента.

Кинематические уравнение генератора имеет вид:

$$i_{ds} = \frac{1}{L_d} V_{ds} - \frac{R_s}{L_d} i_{ds} + p \frac{L_q}{L_d} \omega i_{qs}$$

$$i_{qs} = \frac{1}{L_q} v_{ds} - \frac{R_s}{L_q} i_{qs} - p \frac{L_d}{L_q} \omega - p \frac{\lambda}{L_q} \omega i_{ds}$$

$$i = \frac{2 n^2}{2J} \lambda i_{qs} - \frac{B}{J} \omega - \frac{1}{j} T_m(1)$$

где: L_d , L_q — индуктивность d, q статора (Гн); i_{ds} , i_{qs} — ток d, q статора (А); λ — магнитный поток (В.с/рад); ω_s — угловая частота цепи статора (рад/с); R_s — сопротивление статора; J — момент инерции (Кг.м2); B — коэффициент трения, безразмерная величина; T_L — механический момент (Н.м); ω — скорость ротора (рад/с). На основе уравнения (1) построен наблюдатель момента рассматриваемого устройства.

Уравнение наблюдателя:

$$\begin{cases} \frac{d\hat{x}}{dt} = A\hat{x} + B\underline{u} + L(\underline{y} - \hat{y} - D\underline{u}) \\ \hat{y} = C\hat{x} \end{cases} C e; \hat{x} = \begin{pmatrix} \hat{c} \\ \hat{c} \\ \hat{c} \end{pmatrix}; e = x - \hat{x}; L = \begin{pmatrix} L_1 \\ L_2 \end{pmatrix}.$$

Структурная схема наблюдателя имеет вид:

$$\begin{array}{c} \omega \\ \\ \hline i_{gz} \\ \hline \\ \hat{T}_{L} = -L_{2}(\hat{\omega} - \omega) \\ \\ \hat{\sigma}, \hat{T}_{L} \end{array}$$

Рис. 2. Структурная схема наблюдателя.

Выполняем расчеты с конкретными параметрами системы, взятыми из [2]. Тогда параметры наблюдателя примут вид: $L = \begin{bmatrix} L_1 \\ L_2 \end{bmatrix} = \begin{bmatrix} 1 \\ -34000 \end{bmatrix}.$

На основании полученных математических моделей и параметров было выполнено моделирование системы с помощью программы Matlab-Simulink. Результаты представлены на рисунке 2.

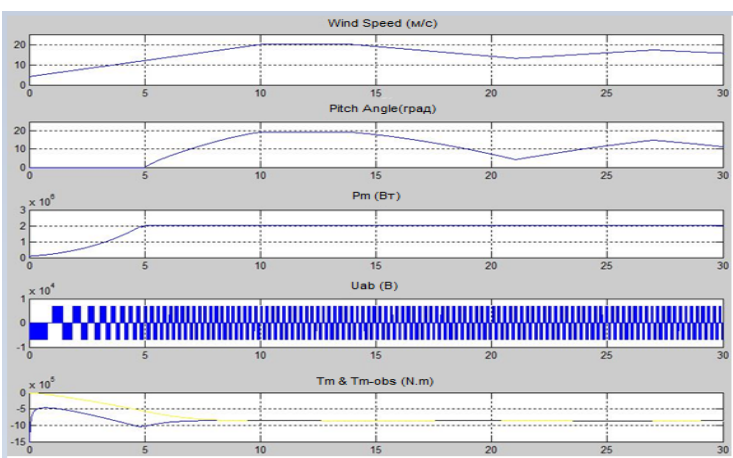


Рис. 3. Результаты моделирования.

Заключение

По результатам моделирования видно, что наблюдатель крутящего момента ветрогенератора хорошо работает в области, превышающей номинальную скорость ветра (> 11,8 м/с). Однако, время

отклика наблюдателя имеет большое значение для области скорости ветра ниже указанной номинальной скорости, когда скорость ветра изменяется быстро.

Список использованных источников

- S. Vijayalakshmi. Modelling and control of a Wind Turbine using Permanent Magnet Synchronous Generator / Vijayalakshmi.s S. Saikumar // International Journal of Engineering Science and Technology (IJEST). – 2011. – Vol. 3. – pp. 2377–2384.
- 2. Nicholas P. W. Strachan. Dynamic Modelling, Simulation and Analysis of an Offshore Variable-Speed Directly-Driven Permanent-Magnet Wind Energy Conversion and Storage System (WECSS)/, Nicholas P. W. Strachan, Dragan Jovcic// IEEE Trans. Energy Conversion 2007. pp. 1–6
- 3. N.T.-T. Vu. Robust speed control method for permanent magnet synchronous motor/ Vu N.T.-T, H.H. Choi, R.-Y. Kim, J.-W. Jung // IET Elec. Power Appl., 2012, Vol. 6. pp. 399–411.